

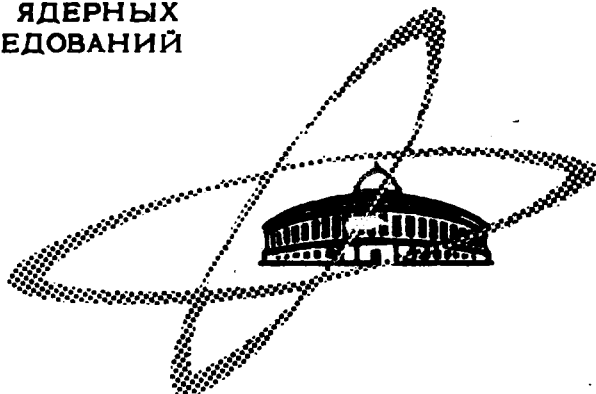
16/07/40

K-687  
ОБЪЕДИНЕННЫЙ  
ИНСТИТУТ  
ЯДЕРНЫХ  
ИССЛЕДОВАНИЙ

Дубна.

N125

P12 - 4903



Ю.С. Короткин

**РАЗДЕЛЕНИЕ АКТИНИДНЫХ ЭЛЕМЕНТОВ  
И ИХ ВАЛЕНТНЫХ ФОРМ  
РАСПРЕДЕЛИТЕЛЬНОЙ ХРОМАТОГРАФИЕЙ  
НА БУМАГЕ И В ТОНКОМ СЛОЕ**

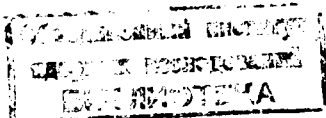
P12 - 4903

Ю.С. Короткин

8225/2 "g".

РАЗДЕЛЕНИЕ АКТИНИДНЫХ ЭЛЕМЕНТОВ  
И ИХ ВАЛЕНТНЫХ ФОРМ  
РАСПРЕДЕЛИТЕЛЬНОЙ ХРОМАТОГРАФИЕЙ  
НА БУМАГЕ И В ТОНКОМ СЛОЕ

Направлено в журнал "Радиохимия"



Опубликованные к настоящему времени работы по разделению актинидных элементов методом распределительной хроматографии на бумаге (РХБ), пропитанной различными экстрагентами или комплексообразователями, относятся, в основном, к разделению урана и тория. В работах Кноха и сотр.<sup>/1,2/</sup> проведено разделение некоторых трансурановых элементов на бумаге, пропитанной три-*n*-октиламином. Полный список работ по РХБ опубликован в сборнике<sup>/3/</sup>.

В настоящей работе изучалась возможность разделения актинидных элементов от Th до Cf и их валентных форм в азотной и хлорной кислотах методом РХБ на бумаге, пропитанной тетрабутилгипофосфорной кислотой (ТБГФК). Были поставлены опыты по разделению актинидных элементов методом тонкослойной хроматографии на тефлоне-40, насыщенном ТБГФК.

## Экспериментальная часть

В опытах использовалась тетрабутилгипофосфорная кислота (ТБГФК), очищенная от продуктов гидролиза и полимеризации.

В одной серии опытов хроматографическая бумага (ватман-1) пропитывалась 0,1М раствором ТБГФК в ацетоне с добавкой воды (20:1) и затем высушивалась на воздухе. В другой серии опытов применялись растворы 0,5М и 1М ТБГФК.

В работе использовались следующие радиоактивные изотопы  $^{234}\text{Th}$ ,  $^{229}\text{Th}$ ,  $^{233}\text{U}$ ,  $^{237}\text{Np}$ ,  $^{239}\text{Pu}$ ,  $^{241}\text{Am}$ ,  $^{243}\text{Am}$ ,  $^{244}\text{Cm}$ ,  $^{246}\text{Cf}$ .  $^{246}\text{Cf}$  был синтезирован на 310-сантиметровом ускорителе многозарядных ионов ЛЯР ОИЯИ в ядерной реакции  $^{238}\text{U} (^{12}\text{C}, 4n) ^{246}\text{Cf}$ .

Каждый изотоп контролировался по энергии его  $\alpha$ -частиц. Для снятия  $\alpha$ -спектров применялся полупроводниковый (Si) детектор с разрешением  $\approx 30$  кэв. Детектор был сопряжен со 100-канальным амплитудным анализатором импульсов.

Опыты проводились при комнатной температуре восходящим методом. Продолжительность опытов выбиралась так, чтобы фронт кислоты поднимался на высоту 30 см. Время экспозиции колебалось от 5 (в 1М  $\text{HNO}_3$ ) до 15 часов (в 14М  $\text{HNO}_3$ ). Ширина полосок бумаги 1,5 см. Раствор с изотопами (от 1 до 10 мкл) наносился на бумажную ленту в 1М  $\text{HNO}_3$  на расстоянии 5 см от уровня элюента. При этом пятно на старте получалось не более 3 мм в диаметре.

По окончании опыта лента высушивалась, разрезалась на участки шириной 1 см, которые затем обсчитывались на  $\alpha$ -счётчике. В последующих опытах, после отработки условий разделения, лента протягивалась перед счётчиком, соединенным с самописцем.

Значения  $R_f$  определялись по положению максимума  $\alpha$ -активности. Точность определения  $R_f = \pm 0,02$ . При значениях  $R_f < 0,5$  ошиб-

ка составляет  $\pm 0,3$ . Воспроизводимость результатов – в пределах точности определения значений  $R_f$ .

Валентные состояния элементов определялись по хроматограммам их чистых валентных форм.

## Результаты и обсуждение

На рис. 1 и 2 приведена зависимость значений  $R_f$  от концентрации  $\text{HNO}_3$  и  $\text{HClO}_4$  для ряда актинидных элементов и их валентных форм. По этим зависимостям можно подобрать условия, при которых будет происходить разделение смеси элементов. Примеры таких разделений показаны на рис. 3, 4 и 5.

Нужно отметить, что америций и кюрий меняются местами при низких концентрациях  $\text{HNO}_3$ . Подобная инверсия наблюдается для  $\text{Am}^{+4}/\text{Cm}^{+4}$  и  $\text{Cm}^{+4}$  при вымывании их с катионаобменных смол 13М  $\text{HCl}$ .

На рис. 6 показано отделение  $\text{Cf}$  от  $\text{Am}$  и  $\text{Cm}$ . Коэффициент очистки  $\text{Cf}$  от  $\text{Am}$  и  $\text{Cm}$  равен 20, от  $\text{Np}$ ,  $\text{Pu}$  и  $\text{U}$  очистка полная.

В 8М  $\text{HNO}_3$  можно добиться разделения  $\text{Am}$  и  $\text{Cm}$ .

Для разделения валентных форм  $\text{Np}$  и  $\text{Pu}$ , а также суммы  $\text{Np(V)}$ ,  $\text{U(VI)}$ ,  $\text{Am(III)}$  и  $\text{Pu}$  в  $\text{HClO}_4$  характерна резкая форма пиков и хорошие коэффициенты разделения. Оптимальная концентрация  $\text{HClO}_4$  равна 2,8М.

При использовании 0,5М или 1М растворов ТБГФК можно легко отделить  $\text{Am}$  и  $\text{Cm}$  от суммы остальных актинидных элементов во всех валентных формах и при любых концентрациях  $\text{HNO}_3$  и  $\text{HClO}_4$  (рис. 8).

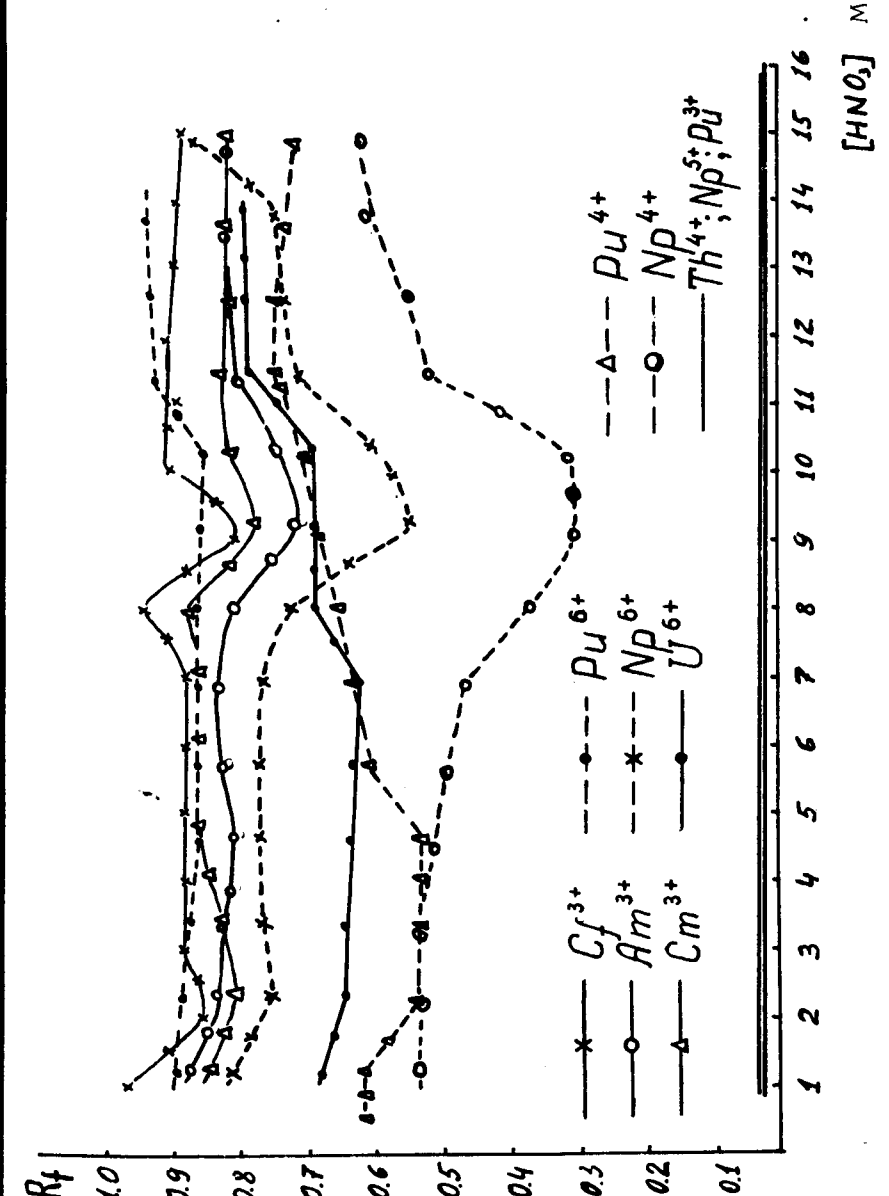


Рис. 1. Зависимость  $R_f$  для актинидных элементов от концентрации  $HNO_3$  (0,1М ТБГФК).

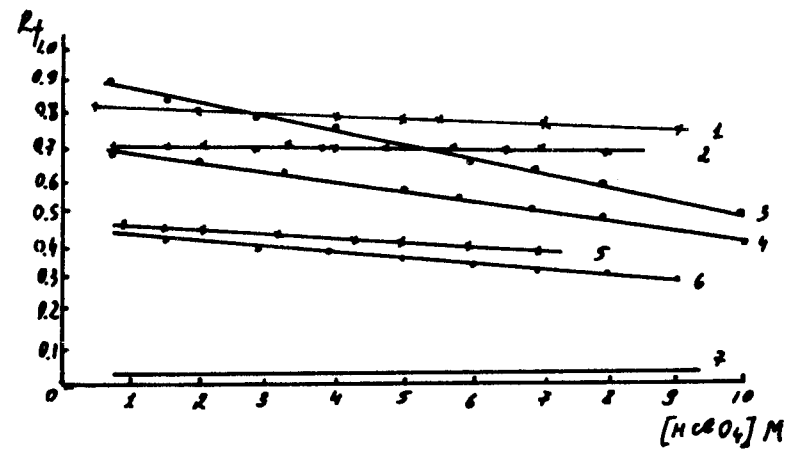


Рис. 2. Зависимость  $R_f$  для актинидных элементов от концентрации  $HClO_4$  (0,1М ТБГФК): 1 -  $U(VI)$ ; 2 -  $Np(VI)$ ; 3 -  $Am^{3+}, Cm^{(III)}$ ; 4 -  $Pu(IV)$ ; 5 -  $Np(IV)$ ; 6 -  $Pu(VI)$ ; 7 -  $Pu(III), Np(V), Th(IV)$ .

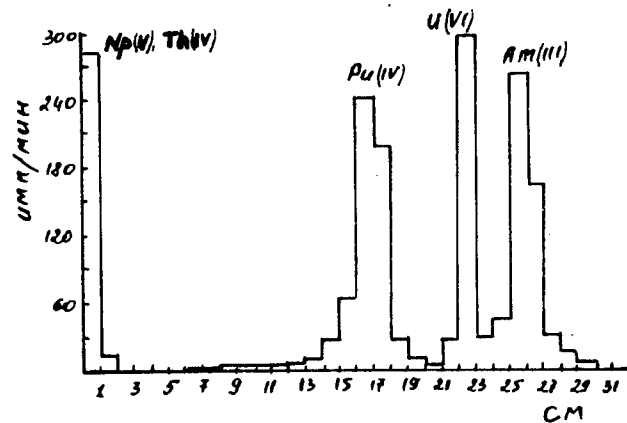


Рис. 3. Разделение  $Th$ ,  $U$ ,  $Np$ ,  $Pu$ ,  $Am$  в 3М  $HNO_3$  на бумаге ватман-1, пропитанной 0,1М ТБГФК.

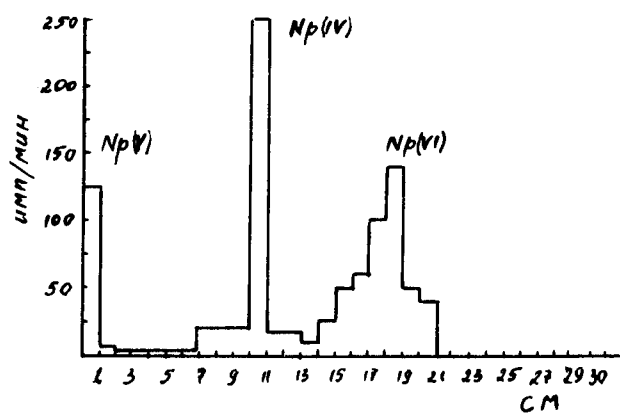


Рис. 4. Разделение валентных форм нептуния в 8M  $\text{HNO}_3$  (ватман-1, 0,1M ТБГФК).

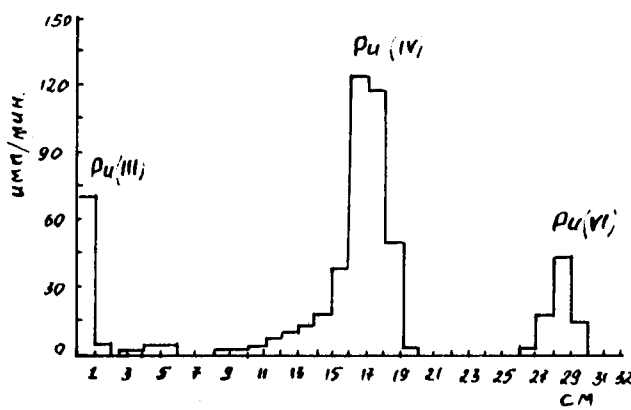


Рис. 5. Разделение валентных форм плутония в 3M  $\text{HNO}_3$  (ватман-1, 0,1M ТБГФК).

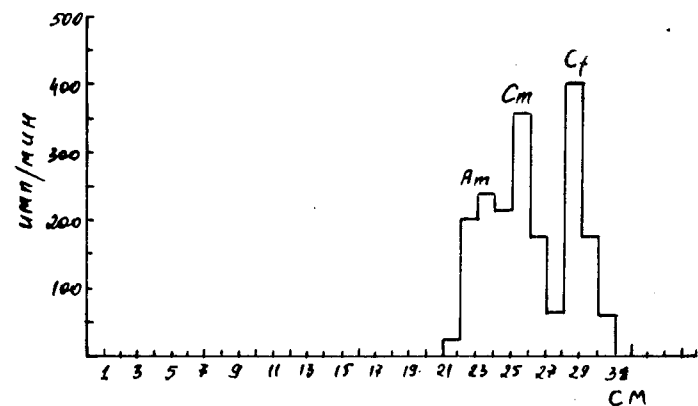


Рис. 6. Разделение Cf, Am и Cm в 10M  $\text{HNO}_3$  (ватман-1, 0,1M ТБГФК).

Значения  $R_f$  для  $\text{Pu(III)}$  сняты вплоть до высоких концентраций  $\text{HNO}_3$ . Это, очевидно, возможно потому, что скорость реакции окисления плутония (III) в  $\text{HNO}_3$  при концентрации  $\text{Pu(III)}$ , меньшей  $10^{-5}$  -  $10^{-6} \text{M}$ , не очень велика<sup>/5/</sup>. Для выяснения влияния коллоидообразования, которое может способствовать появлению активности плутония с этим значением  $R_f$ , получение  $\text{Pu(III)}$  проводилось разными методами, исключающими возможность коллоидообразования. Так как спектрометрический анализ при этих концентрациях плутония неприменим, метод РХБ может быть использован для изучения поведения  $\text{Pu(III)}$  в концентрированной  $\text{HNO}_3$ .

Для выяснения возможности быстрого разделения трансуранных элементов были поставлены опыты по тонкослойной хроматографии на тефлоне-40 ( $\approx 200$  меш.) Толщина слоя  $12,5 \text{ mg/cm}^2$ , слой незакрепленный, насыщенный  $0,1\text{M}$  раствором ТБГФК. Для разделения была взята смесь  $^{235}\text{U}$  (1 мг),  $^{237}\text{Np}$  (0,2 мг),  $^{239}\text{Pu}$  (0,1 мг),  $^{241}\text{Am}$  (0,02 мг),  $\text{Fe}$ ,  $\text{Ni}$ . Время разделения 35 минут (вместо 6 часов на бумаге), слой во время элюции находился в горизонтальном положении. Пример разделения показан на рис. 7. 3-валентные элементы ведут себя иначе, чем при разделении на бумаге, что может быть объяснено различными адсорбционными свойствами бумаги и тефлона по отношению к ТБГФК.

Данные, приведенные выше, показывают, что разделение валентных форм  $\text{Np}$  и  $\text{Pu}$ , а также суммы актинидных элементов методом распределительной хроматографии на бумаге, пропитанной раствором ТБГФК, и методом тонкослойной хроматографии вполне удовлетворительное и может служить для количественных оценок и аналитических работ.

Автор признателен кандидату химических наук Л.Н. Москвину за полезные советы и обсуждение результатов.

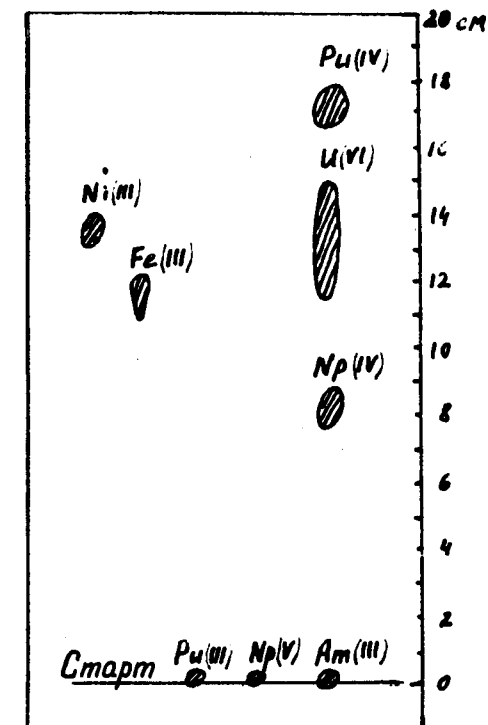


Рис. 7. Разделение элементов тонкослойной хроматографией на тефлоне-40 в 3M  $\text{HNO}_3$  (0,1M ТБГФК).

### Выводы

1. Показана возможность разделения в  $\text{HNO}_3$  и  $\text{HClO}_4$  суммы некоторых актинидных элементов и их валентных форм методом распределительной хроматографии на бумаге, пропитанной тетрабутилглиофосфорной кислотой.

2. Проведено разделение миллиграммовых количеств  $\text{U}$ ,  $\text{Np}$ ,  $\text{Pu}$ , а также  $\text{Am}$  методом тонкослойной хроматографии на тefлоне-40.

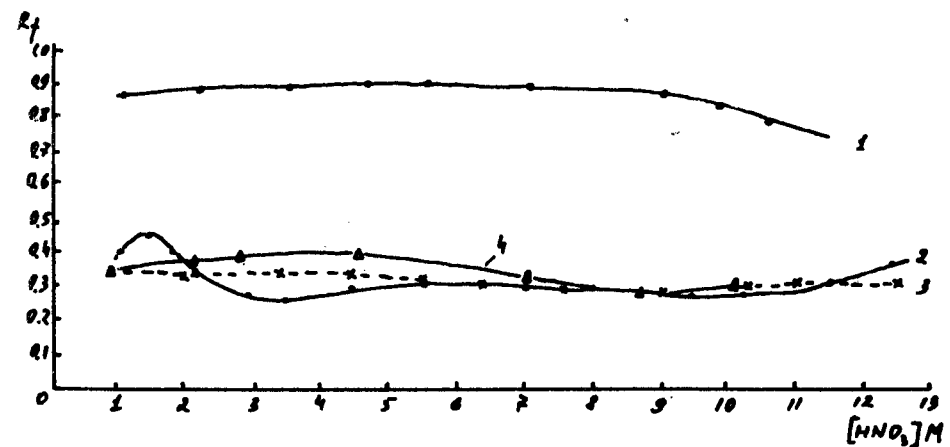


Рис. 8. Зависимость  $R_f$  от концентрации  $\text{HNO}_3$  при использовании 0,5 М ТБГФК; 1 -  $\text{Am}$ ,  $\text{Cm(III)}$ ; 2 -  $\text{U(VI)}$ ; 3 -  $\text{Pu(IV)}$ ,  $\text{Pu(VI)}$ ; 4 -  $\text{Pu(III)}$ ,  $\text{Np(V)}$ ,  $\text{Th(IV)}$ .

### Л и т е р а т у р а

1. W. Knoch, H. Lahr. Radiochimica Acta, 4, 114 (1965).
2. W. Knoch, B. Muju, H. Lahr, J. Chromatog., 20, 122-130 (1965).
3. H. Eschrich, W. Drent. Bibliography on Applications of Reserved Phase Partition Chromatog. to Inorganic Chemistry. Eurochemic Mol, Belgium (1967).
4. K. Street, Jr., G.T. Seaborg. J. Am.Chem.Soc., 72, 2790 (1950).
5. В.С. Колтунов. Кинетика окислительно-восстановительных реакций урана, нептуния, плутония. М., 221 (1965); Атомиздат.

Рукопись поступила в издательский отдел  
3 февраля 1970 года.